

TITLE PAGE

51. Katalytische Krackversuche im 40 Ltr.-Ofen
mit Kontakt 6108 und 6752.
Experiments in the 40 liter oven with
catalysts 6108 and 6752.

Frame Nos. 304 - 327

B (30)

000304

28. März 1942, RTZ, Lb.

Hochdruckversuch
zu 658.

A III 1.

1 Minuti

Indol-Mittel

Steinkohle-Kohle-Katalytische Krackversuche in 40 ltr.-Ofen
Krackenpunkt mit Kontakt 6108 und 6708.

Änderungszusammensetzung:

In einem DWD-Ofen, der aus 4 Finschläufen von je 10 ltr. Inhalt bestand, wurde eine Reihe von Krackversuchen mit 20 - und 60 Minutenzyklon und Durchsätze von 0,5 und 1 kg/ltr. Kontakt und Stunde durchgeführt, und zwar mit K 6108 (Terrana) und K 6708 (Synthet. Al-Silikat) unter Verwendung eines Vorhydrierungsmittelöles aus Steinkohleverflüssigung und zweier Erdölmittelöle. Für die jeweiligen Bedingungen optimaler Spaltung sind in der folgenden Tabelle einige charakteristische (z.T. abgerundete) Daten zusammengestellt.

Die Anfallprodukte wurden in Benzin -150°, Schwerbenzin vom 180 - 180° und Rückstand > 180° zerlegt und die Eigenschaften dieser Fraktionen in Abhängigkeit von Kontakt, Ausgangsstoff und Fahrbedingungen tabellarisch und graphisch wiedergegeben sowie diskutiert. Die genaue Vergasungszusammensetzung und ihre Änderung im Verlaufe eines 60 Minuten-Zyklus wurden ermittelt.

Kontakt		5103 (Terrana)		6752 (Synth.-Al-Silikat)	
Ausgangssöl	Bezeichnung	Vorhydr. Mit- tel51 aus Steink.Verfl. (P 1494-Mit- tel51) + 49	Mittel51 aus Bruchsaler Öl (P 1203-Mit- tel51) +67,5	Vorhydr. Mit- tel51 aus Steink.Verfl. (K 1494-Mit- tel51) + 49	Mittel51 aus Bunin-Erd51 (P 1490-Mit- tel51) + 62,5
anfangspunkt					
Temperatur mV (°C)		23 (442)	24 (460)	21,5 (416)	21 (408)
Durchsatz kg/Ltr. Kontakt und Stunde		0,5	0,5	0,5	0,5
Zyklusdauer Minuten		20	20	20	20
Gewichts-% des Koks		3	4	3	4,5
Gesamtanfalls Gas C ₁ + C ₂ (% Olefine)		1 (26)	2	1 (26)	1,5 (23)
C ₃ + C ₄ (% Olefine)		6 (22)	8	10 (10)	10 (8)
Benzin -150°		50	28	45	50
- 150-160°		10	10	10	10
Rückstand 160°		50	48	50	45
Verlust auf Benzin -150°	C ₁ -C ₄ + Koks/ Ein-Gar-Koks	25	53	23	35
	C ₁ -C ₂ + Koks/ " "	10	14	7	13
Verlust auf Benzin -150°	C ₁ -C ₄ + Koks/ " "	20	27	20	29
	C ₁ -C ₂ + " " "	8	12	6	11
Benzin -150°	Jodzahl	20	50	10	15
	Ges.-% Aromaten	20	20	10	15
	Oktanzahl Motormethode/ Motormethode + 0,12 Pb 77/92		74/90	73/96	77/95
Schwerbenzin 160-165°	Jodzahl	13	15	13	2
	Ges.-% Aromaten	28	30	55	47
	Oktanzahl EK./M.H. + 0,12	65/73	52/72	74/85	61/76
Benzinkont. >160°	Jodzahl	30	20	30	4
	Anilinpunkt	+24	+26	+20	+25
	Octanzahl	20	20	20	25

0
0
0
0
5

000306

Vorbericht

Es soll hier über einige katalytische Krackversuche in einem 40-ltr. Ofen berichtet werden, deren Hauptzweck die Herstellung grüßerer Benzinkreften aus Steinkohlevhydrierungsmittelöl für Überladeversuche und Qualitätsvergleich mit Hydrierbenzin war (vgl. Bericht 193061 Dr. Reitz vom 28.1.1942). Für diese Versuche, die rasch durchgeführt werden sollten, wurde der DHD-Ofen 601, der aus 4 Einzelöfen von je 10 ltr. Inhalt besteht, ohne irgendwelche Veränderungen verwendet. Da dieser Ofen nicht für die besonderen Verhältnisse des Krackverfahrens eingerichtet war, ergaben sich einmal unverhältnismäßig lange Regenerationaseiten und andererseits größere Produktverluste bei den Risselversuchen, sodass die Bilanzierung der Versuche keine allzuhohe Genauigkeit beanspruchen kann. Das Hauptgewicht soll daher bei dieser Zusammenstellung auf die Produkteigenschaften in Abhängigkeit von den Jahrbedingungen gelegt werden.

Folgende Versuche wurden ausgeführt:

1. Einbau Kontakt 6108 (Tetraenk. 10 mm Füllenz.), 07 Versuchzyklen.

- Versuche zur Herstellung grüßerer Benzinkreften aus Verhydriungsmittelöl aus Oberschlesischer Steinkohle, 24 mV, Durchsatz etwa 0,6 kg/Ltr. Kontakt und Stunde, Zykluslänge anfangs 15, später 20 Minuten,
- Versuche mit dem gleichen Ausgangsöl unter Variation von Temperatur, Durchsatz und Zykluslänge,
- Versuche mit Mittelöl aus Bruchsaler Öl (P 1203) unter Variation der Versuchsbedingungen.

2. Einbau Kontakt 6752 (Synthet. Al-Silikat, 10 mm Füllenz.), 46 Zyklen.

- Herstellung grüßerer Benzinkreften aus dem oben genannten Steinkohlevhydrierungsmittelöl, 21 (bis 21,5) mV, Durchsatz etwa 0,5, 20 Min. zyklen,
- Versuche mit Mittelöl aus rumänischem Öl (P 1490) unter Variation der Bedingungen.

Tabelle 1 enthält die Analysen der Ausgangsöle,

Tabelle 2 enthält Versuchsbedingungen, Bilanzierung und genauere Angaben über die Vergasungszusammensetzung für die unter 1a und 2a genannten Versuche. Über die Produkteigenschaften wurde in der oben erwähnten Zusammenstellung schon eingehend berichtet.

Tabelle 3 enthält Versuchsbedingungen und Bilanzierung der unter 1b und 2 sowie 3 b genannten Versuche.

Tabelle 4 die zugehörigen Produktuntersuchungen, und zwar außer dem Abtropfölprodukt Untersuchungen der Fraktionen - 150°, 150 ~ 160° und > 180°.

000307

Tabelle 1: Ausgangsgrößen

	Steinkohle- mittel 81	Erdölmittel 81	
P 1494-B-Mit- tel 81 v.Ka. 501 vom 3.11.61 41/Bruchheiler	P 1803 v.180 - 330 v.321, Bruchheiler	P 1490 v. 170-350 v. 28,11,41 81)	(Rundn.1)
Spez.Gewicht/80°	0,878	0,809	0,829
Anilinpunkt	+ 49	+ 67,5	+ 62,5
Siedebeginn °C	198	163	170
% - 100	-	8	1,5
" - 200	-	18	21,5
" - 225	25	32	30
" - 250	53	49	44
" - 275	73	69	59
" - 300	91	88	72
" - 325	-	99	63,5
" - 350	-	-	98
Endpunkt °C/%	318/98	328	337/97,5
% H	0,018	0,018	-
Anilinpunkt Fraktionen			
140 - 160		+ 60,5	
160 - 180		81	
180 - 200	+ 44,5	68,5	180-210 + 52
200 - 225	45,2	64	210-230 + 56,5
225 - 250	46,7	66,5	
250 - 275	49,7	68,5	240-270 + 61,5
275 - 300	58,5	72,5	280-310 + 67
300 - 325	68,2	78,0	310-330 + 71,0
325 - 350	69,5	-	> 350 + 72

Erosion von verkohlgemischten Stahlkohleverflüssigungsanlagenmitteln

Produkt-eigen-schaften bei Temperaturkontakt (K. 6100)

Die Temperatur wurde zwischen 23 und 26 mV (448 und 470°), der Durchsatz zwischen 0,5 und 1 kg je Lhr. Kontaktraum und 0 und 100 Zyklen-Länge zwischen 20 (16) und 60 Minuten variiert. Die Benzinkonzentration im Abtrenner bewegte sich dabei zwischen 19 und 33% - 150° bzw. 26 und 44% - 180°. Bei den 20 Min-Zyklen war die Benzinkonzentration praktisch unabhängig von der Temperatur und ging bei Verdopplung des Durchsatzes um 1/4 - 1/5 zurück. Ein ähnlicher Rückgang ergibt sich bei Verlängerung der Zyklusdauer auf 60 Minuten. Bei den 60 Min.-Zyklen schien die Benzinkonzentration mit steigender Temperatur etwas geringer zu werden; die Messwerte bei 24 mV zeigen eine Unstetigkeit, insofern als bei Durchsatz 1 die Spaltung grösser erscheint als bei Durchsatz 0,6. Die Jodzahlen (vgl. Kurvenblatt 1) des Benzino - 150° liegen zwischen 16 und 34; sie steigen mit Temperatur und Zyklusdauer stark, mit dem Durchsatz ebenfalls, aber weniger stark an. Die Jodzahlen der Schwerbensinfektionen zwischen 180 und 150° liegen zwischen 18 und 28; sie ändern sich mit den Versuchsbedingungen in gleichen Sinne, aber weniger stark als die der Benzino - 150°. Die Jodzahlen der Rückstände über 180° (zwischen 20 u. 38) steigen ebenfalls mit der Temperatur schwach an, werden dagegen bei Verlängerung der Zyklusdauer etwas niedriger. Der Aromatengehalt (vgl. Kurvenblatt 2) der Benzine - 150° (zwischen 15 und 27 Gew.-%) steigt mit der Temperatur und nimmt mit der Zyklusdauer etwas ab; die Abhängigkeit vom Durchsatz war nicht eindeutig, jedenfalls aber nur gering. Die Schwerbenzins enthielten 25 - 47 % Aromaten bei ähnlichen, aber stärker ausgeprägten Abhängigkeiten von den Versuchsbedingungen; mit steigendem Durchsatz nimmt der Aromatengehalt deutlich etwas ab. Der Wasserstoffgehalt des Rückstandes über 180° ändert sich zwischen einem Anlaufpunkt, parallel mit dem Aromatengehalt der Schwerbensinfektion, wobei allerdings die Abhängigkeit von Durchsatz und Zyklusdauer relativ gross gegenüber der Temperaturabhängigkeit ist. Die Oktanzahlen (vgl. Kurvenblatt 3) der unstaabilisierten Benzine - 150° variierten nur in relativ engen Grenzen (Oktanzahl Motor-Methode 74,5 - 78, Motor-Methode + 0,12 % Pb, 29,8 - 92,3), wobei lediglich die Verlängerung der Zyklen von sichtbarem (ungünstigen) Einfluss ist. Da die % - 100 bei den einzelnen Benzinzypben nur wenig verschieden waren (zwischen 54 und 68), ist auch kein eindeutiger Zusammenhang zwischen Oktanzahl und Siedekurve zu erkennen. Die Oktanzahlen der Fraktion von 150 - 180° gehen deutlich mit dem stärker veränderlichen Aromatengehalt dieser Fraktion parallel (Oktanzahl Motor-Methode 58-71, Motor-Methode + 0,12 % Pb 75 - 79). Die Oktanzahlen der Rückstände > 180° liegen zwischen 29 und 37 und gingen ungefähr den Anlaufpunkten dieser Fraktion parallel. Der Anlaufpunkt der Rückstände lag mit Werten zwischen 318 und 360 höher als der des Ausgangsstoffes mit 318 entsprechend einer Neubildung hochsiedender Anteile bis zu einer Menge von etwa 8 %. Es besteht eine gewisse Parallelität zwischen Erhöhung des Siedekondenspunktes und Dehydrierung des Rückstandes.

Produkt-eigen-schaften bei synthetischem Al-Silikat (K. 6752).

Entsprechend der höheren Aktivität dieses Kontaktors wurden ex-heblich tiefere Temperaturen angewandt (21 - 21,5 mV = 408 - 416°). Durchsatz und Zyklusdauer wurden nicht variiert (Durchsatz 0,5, 20 Min-Zyklen). Die Benzinkonzentration war bei K. 6752 wesentlich höher (48 - 65° bzw. 66,6 - 67,6 % bis 180°) und stieg im Gegen-

ante zu K 6108 mit der Temperatur an. Die Jodzahlen für Benzine waren erheblich niedriger als bei K 6108 und zwar liegen sie mit der Temperatur ungetrennt zwischen 6,4 und 7,9 ($\sim 150^\circ$), zwischen 10 und 13 ($160 - 180^\circ$), während die der Rückstände über 180° von gleicher Größenordnung waren wie bei K 6108. Eine Betrachtung von Kurvenblatt 1 zeigt, dass die Jodzahlen anscheinend hauptsächlich eine Funktion der Temperatur und praktisch unabhängig vom Katalysator sind. Im Gegensatz dazu ist der Aromatengehalt der Benzine (vgl. Kurvenblatt 3) stark katalysatorabhängig und zwar gibt K 6752 trotz seiner erheblich tieferen Temperatur in der Fraktion $\sim 150^\circ$ fast ebensoviel Aromaten wie K 6108 (15 - 18,5 Gew.-%), in der Fraktion von $150-180^\circ$ aber sogar erheblich mehr als K 6108 (49-56 %). Die Aromatenverteilung ist also ebenfalls verschieden. Entsprechend gibt K 6752 auch einen wasserstoffärmeren Rückstand (AP 40-41,5%). Die Aromaten nehmen mit der Temperatur stärker zu als bei K 6108, der Anilinpunkt des Rückstandes sinkt entsprechend schneller. Die 6752-Benzine haben bessere Oktanzahlen (vgl. Kurvenblatt 3) und zwar auch in der Fraktion $\sim 150^\circ$ trotz niedrigerem Aromaten- und Ungesättigtengehaltes. Die Oktanzahlen steigen deutlich mit dem Aromatengehalt und damit auch mit der Temperatur: $\sim 150^\circ$ Oktanzahl Motormethode 76-79, Motormethode + 0,12 % Pb 96, $160 - 180^\circ$ Oktanzahl Motormethode 70 - 74. Der Oktanzahl-Abfall in den oberen Fraktionen ist geringer als bei K 6108. Die Oktanzahlen ($\sim 180^\circ$) liegen entsprechend dem niedrigeren Sib- H_2 -Gehalt niedriger (26-29). Auch hier tritt eine Erhöhung des Sib- H_2 -Gehinkpunktes auf $240 - 300^\circ$ ein entsprechend einer Neubildung $> 300^\circ$ von $\Sigma - 3 \beta$; sie nimmt mit der Ofentemperatur zu.

Fraktionsanilinpunktskurven (vgl. Kurvenblatt 4 - 6)

Die Abtrennöfen wurden in $20 - 30^\circ$ -Fraktionen zerlegt, deren Anilinpunkt bestimmt wurde. Die Anilinpunktskurven bestätigen zunächst die oben schon aus den Aromatengehalt bzw. dem Anilinpunkt der Fraktionen $\sim 150/150-180/ > 180$ gezogenen Schlüsse hinsichtlich der Abhängigkeit von den Fahrbedingungen. Besonders deutlich ist die starke Zunahme der Dehydrierung des Mittellofrückstandes bei Erhöhung des Durchsatzes oder Verlängerung der Zyklen. Die Kurven zeigen stets ein bei etwa 160° liegendes Minimum (zwischen + 15 und + 34 bei K 6108 und zwischen + 7 und + 15 bei K 6752). Der Wiederaufstieg des Anilinpunkts in den darüberliegenden Fraktionen ist bei 20 Min. Zyklen und Durchsatz 0,5 am geringsten. Oberhalb von $250 - 260^\circ$ tritt bei K 6108 erneuter Abfall auf, der um so stärker ist, je schärfer die Fahrbedingungen sind und bei Durchsatz 1,0 und 30 Min. Zyklen praktisch verschwindet. Bei K 6752 setzt der Wiederaufstieg schon oberhalb von 220° ein.

Aufteilung des Gesamtanfalles bei Terranakontakt (vgl. Kurvenblatt 8)

Die Aufteilung nach Koks, Gas (C_1 und C_2), Benzin und Rückstand ist bei K 6108 kaum temperaturabhängig, dagegen gehen Koks,

Gas und Benz in bei Erhöhung sowohl des Durchsatzes als auch der Zykluslänge starker zurück. Der Verlust (Vergasung + Koks bezogen auf Benz + Verlust) zeigt bei Durchsatz 0,6 überraschenderweise bei der mittleren Temperatur von 24 mV ein Maximum, während er bei Durchsatz 1 im ganzen Temperaturintervall ansteigt. Der Verlust wird bei Durchsatzerhöhung und auch bei Zyklusverlängerung geringer; er liegt bezogen auf Benz ~ 150° zwischen den Grenzen 17 (107) und 33 % und bezogen auf Benz ~ 180° zwischen 13 (107) und 27 %. Eine eindeutige Abhängigkeit des Verlustes von der Benzinkonze. d.h. also von dem Ausmaß der Spaltung ist nicht zu erkennen (s. Kurvenblatt 8 unten). Die Koksmengen liegen, auf Benz ~ 180 bezogen, zwischen 3,8 und 10,5 %, ergaben sich aber, wie bereits in der Einleitung erwähnt wurde, in der verwendeten Versuchsausrüstung vermutlich zu hoch; und zwar ausschließlich durch Verbrennung von Ölresten, die bei Umstellung vom Betrieb auf Regeneration trotz des Spülens mit Stielkotstoff in den Leitungen zurückgeblieben waren. Darauf folgen ergaben sich auch die auf Benz bezogenen Kokswerte bei den 1 Std.-Zyklon erheblich kleiner als bei 20 Min.-Zyklen (4,8 ~ 9,6 gegenüber 11,6 ~ 15,8) und bei Durchsatz 1,0 erheblich geringer als bei Durchsatz 0,6 (3,8 ~ 7,3 gegenüber 9,6 ~ 15,6). Die wahren Werte sind schwer abzuschätzen, dürften aber in keinem Falle 10 % überschreiten.

Da die Vergasung, wie später noch genauer dargelegt wird, zu ca. 90 Gewichts-% aus Flüssiggas ($C_3 + C_4$ -Kohlenwasserstoffe) besteht, dürfte die $C_3 + C_4$ -Vergasung auf Benz bezogen einen Wert von etwa 5 % in keinem Falle übersteigen; d.h. dass der Verlust, wenn man die Flüssiggase noch als Gewinn buchen will, ebenso auf Benz ~ 150° bezogen, zwischen ca. 5 % bei hohen Durchsatz und langen Zyklen und 10 ~ 12 % bei kurzen Zyklen und kleinen Durchsatz bewegen und zu 70 ~ 80 % aus Koks bestehen dürfte. Um im geraden Durchgang eine möglichst hohe Aufspaltung des Mittelöls zu Benz zu erreichen, müsste man Durchsatz und Zykluslänge klein halten. Unter dieser Einschränkung ist nach den vorliegenden Ergebnissen eine Temperatur von 23 mV oder noch darunter am vorteilhaftesten, da die Benzinkonze. ja praktisch nicht temperaturabhängig ist. Man hätte bei 23 mV 20 Min.-Zyklen und Durchsatz 0,6 kg/ltr. Kontakt und Stunde etwa 29 % Benz ~ 150° (38 % ~ 180°), 60 % Ruok.-standi > 150° (58 % > 180°), 8 % Flüssiggas, 0,6 % C_3 und C_4 -Kohlenwasserstoffe, 8,6 % Koks, wobei die 3 letzten Zahlen mehr oder weniger auf Schätzungen beruhen und auf Benz ~ 150° + Verlust bezogen einen Verlust (0, bis $C_3 + C_4$) von 94 % bzw. (0, bis $C_3 + C_4$) von 93 % entsprechen. Die entsprechenden Verlustzahlen für Benz ~ 180° wären 19 bzw. 8,5 %.

Aufteilung des Gesamtanfalls bei synthetischem Kontakt. (vgl. ebenfalls Kurvenblatt 8).

Zum Unterschied von K 6108 fällt auf, dass die Spaltung zwischen 21 und 21,8 mV noch sehr stark zunimmt und dass gleichzeitig nur die Koksmenge zunimmt, sodass der Verlust/Koks ($+ C_3 + C_4$ -Gas) bezogen auf Benz + Verlust mit steigender Temperatur abnimmt. Der prozentuale Verlust ist aber selbst bei 21,6 mV noch fast ebenso hoch wie die Werte bei K 6108 bestimmten Werte, während über 20 % bzw. 20 % auf Benz ~ 150 bzw. ~ 180° bezogen. Dabei wurden ausfullig sehr hohe Kokswerte erhalten (vgl. die wesentlich niedrigeren Mittelwerte in Tabelle 2). Entsprechend wie oben ergibt sich für die günstigsten mit K 6748 angewandten Bedingungen (21,8 mV)

80 Min.-Zyklen, Durchsatz 0,5) folgende Aufteilung: 4,6 % Benzин - 150° (58 % - 180°), 40 % Rückstand > 150° (28 % 180°), 10 % Flüssiggas, 1 % C₁ und C₂-Kohlenwasserstoffe, 3 % Koks, und ein Verlust (C₁ bis C₂ + Koks) auf Benzин - 150° + Verlust von 23 % bzw. (C₁ bis C₂ + Koks) von 11 %. Die beiden letzten Zahlen erniedrigen sich auf Benzин - 180° beziehen auf 23,5 bzw. 10 %. Der prozentuale Verlust an C₁ + C₂ + Koks scheint, soweit sich dies aus den ausiohoren Bildern schließt folgern lässt im Gegensatz zum Verlust einschließlich Flüssiggas bei steigender Temperatur konstant zu bleiben oder sogar schwach anzusteigen, da die Flüssiggasmenge anscheinend stärker zunimmt. Es ist daher nicht anzunehmen, dass eine Temperaturerhöhung über 21,5 mV hinaus noch wesentliche Vorteile gebracht hätte.

Zusammensetzung der Vergasung bei K 6108 und K 6752

In einzelnen Fällen wurde die Vergasungszusammensetzung genauer ermittelt (vgl. Tabelle 3 und Kurvenblatt 9). Bei K 6108 setzte sich die Vergasung gewichtsmässig aus 10 % H₂, CH₄, C₂H₆ und C₃H₈, 30 % C₂H₆ + C₃H₈ und 60 % C₂H₆ + C₃H₈ + C₄H₁₀ zusammen. Während die verhältnisse bei K 6752 noch günstiger liegen (6 : 63 : 39 %), Der Anteil an Ungesättigten in den einzelnen Kohlenwasserstoff-Fraktionen sinkt sehr stark mit der C-Atomzahl, wobei sich der Abfall unter Heranziehung der Jodzahlen noch in die unteren Benzinktionen hinein verfolgen lässt. In der C₁-Fraktion liefert K 6752 mehr Ungesättigte als K 6108 (58 gegen 45); der Abfall der Ungesättigten ist aber bei K 6752 wesentlich steiler, sodass in der C₂-Fraktion bereits nur noch 3 % Ungesättigte sind gegenüber 18 % bei K 6108. Da K 6752 weniger stark ungesättigte Produkte liefert als K 6108, ist bei ersterem auch erheblich weniger H₂ in der Vergasung enthalten (10 - 18 Vol.-% gegen 22 - 36).

Die Gasentwicklung verläuft, wie bei K 6108 bei 24 mV, 80 Min-Zyklus und Durchsatz 0,5 genauer festgestellt wurde, volumenmässig während der Dauer des Zyklus praktisch mit konstanter Geschwindigkeit, während die Zusammensetzung sich schon im Verlauf von 20 Min.-Zyklen merklich ändert. Zu Beginn ist der H₂-Gehalt gering, steigt dann aber an (von unter 20 auf über 40 Vol.-Prozent). Der entsprechende Rückgang der Kohlenwasserstoffe geht vermutlich mit dem Rückgang der Mittelblaspaltung zu Benzin parallel. Das Verhältnis gesättigte : ungesättigte Kohlenwasserstoffe blieb innerhalb der Schwankungen der Olefinbestimmungen konstant, sodass die Zunahme des H₂ hauptsächlich auf eine Zunahme der Ungesättigten in flüssigen Produkten hinweist. Das mittlere C für Vergasung nahm gleichzeitig von Anfangs über 3 auf etwa 2,5 ab.

Kracken von Erdölmittelölen (vgl. Kurvenblatt 10-11).

Kracken von Bruchsaler Mittelöl mit Terranakontakt (K 6108).

Temp. 24 mV; Durchsatz 0,5 und 20 Min-Zyklus bzw. 1,0 und 60 Min-Zyklus. Die Ergebnisse sollen im folgenden stets mit denen an Steinkohlenmittelöl über dem gleichen Kontakt verglichen werden. Bei dem niedrigen Durchsatz war die Benzinkonzentration ähnlich (38 %), bei hohem Durchsatz kleiner als bei Steinkohle (19 %). Die Jodzahlen lagen im Benzин - 150° höher, der Aromatengehalt war gleich, ebenso waren die Oktanzahlen in dem günstigeren Fall bei Durchsatz 0,5 gleich, allerdings bei Durchsatz 1,0 und 60 Min-Zyklus, in welchem Falle das Benzин weniger % - 100° enthielt, um etwa 4 Punkte niedri-

000312

ger. Da die Benzine untabilisiert untersucht wurden, ist dieses günstige Ergebnis aber z.T. auf einen höheren Gehalt des Benzins an gelöstem Butan zurückzuführen.

Die Schwerbenzinfraktion (150° - 180°) war bei den Erdöl mit Mengenmässig etwas grösser, hatte etwa gleiche Jodzahlen, etwas weniger aromaten und erheblich schlechtere Oktanzahlen als bei Steinkohle (Grundoktanzahl ca. 16 Punkte, Bleiwert ca. 6 Punkte). Bei Durchsatz 1,0 und 60 Min Zyklus hatte das Reutbensin Oktanzahl Motor-Methode/Motor-Methode + 0,17 % Pb von 18/64. Sowohl hinsichtlich der Grösse dieser Fraktion als auch hinsichtlich ihrer Eigenschaften ist zu berücksichtigen, dass sie nach der Siedekurve des Ausgangsöles noch wenig veränderte, insbesondere nicht herabgesetzte Anteile des Ausgangsöles enthält.

Der Rückstand schliesslich war sehr wasserstoffreich, hatte Oktanzahlen knapp über 50 und niedrigere Jodzahlen als bei Steinkohle.

Die Anilinpunktskurven (vgl. Kurvenblatt 6) zeigen nur ein schwaches Minimum und einen starken Anstieg oberhalb von 180° , sodass das Kruck-B-Mittelöl gegenüber dem Ausgangsöl nur schwach dehydriert ist (von Anilinpunkt 66 auf Anilinpunkt ca. 60) im Gegensatz zu den wesentlich stärkeren Änderungen bei Steinkohle.

Der Verlust ($C_1 - C_{180} + \text{Koks}$) ist auf Benzin - 150° bezogen etwas grösser, auf Benzin - 180° bezogen praktisch ebengleich wie bei Steinkohle unter gleichen Fahrbedingungen.

Die Vergasung enthält bedeutend weniger Wasserstoff und einen grösseren Anteil an Ungesättigten in den Kohlenwasserstoffen.

Kräcken von Rumänischem Erdölmittelöl mit synthetischen Kontakt (K 6782).

Das Ausgangsöl war etwas wasserstoffärmer als das Bruchmälz, lag aber im Hg-Gehalt höher an diesem als an dem Steinkohlemittelöl. Es wurde bei $20,5 - 21$ mV (also 0,5 mV niedriger als Steinkohle) und Durchsatz 0,5 - 1 und 20 - 60 Min. Zyklen verarbeitet. Die Spaltung war unter gleichen Versuchsbedingungen etwas schwieriger als bei dem Steinkohlemittelöl, wobei das Benzin - 150° etwa ebensoviel Aromaten, aber (im Gegensatz zu den Ergebnissen im vorhergehenden Abschnitt) erheblich höhere Jodzahlen¹⁾ hatte (10 - 16). Die Oktanzahlen waren ebenfalls und teilweise noch besser, wobei die Benzine allerdings erhebliche Mengen an gelöstem Butan enthielten. Mit wachsender Zyklalänge nimmt die Spaltung ab, die Jodzahl bleibt etwa gleich, der Aromatengehalt steigt etwas an, was aber zum grossen Teil durch eine Verlagerung der Benzinsiedekurve erklärt werden kann. Bei der höheren Temperatur waren die Aromatengehalte überraschenderweise etwas niedriger als bei der tieferen. Die Schwerbenzinfraktionen und die Rückstände hatten im Gegensatz zum Benzin - 150° niedrigere Jodzahlen als aus Steinkohle und, zwar mit 1,3 - 2, im Schwerbenzin und 0,3 - 4,4 im Rückstand sogar ausserordentlich niedrige Werte. Aromatengehalt und Oktanzahl der Schwerbenzine waren

1.) Die Jodzahlen wurden bei den Versuchen mit Rumän. Öl aus der Bromzahl berechnet, bei den übrigen dagegen nach der Methode Hanus 1938 bestimmt. Es ist daher bei diesem Vergleich sowie bei den folgenden in diesem Abschnitt zu berücksichtigen, dass aus der Bromzahl durchweg bis zu etwa 50 % niedrigere Werte erhalten werden als nach Hanus 1938.

000313

- 10 -

niedriger als bei Steinkohle, aber erheblich höher als bei Bruch-
säler Öl und K 6108 (38 - 47 Gew.% Aromaten, Oktanzahl Motor-Methode/
Motor-Methode + 0,12 % Pb 56-52/73 - 77). Der Rückstand ähnelte zu
 H_2O -Gehalt mehr dem des Bruchsäler Öl, lag aber etwas darunter (Ani-
linpunkt + 46 -+51, Oktanzahlen, 44-46). Die Schwerbenzinfraktion
enthält ebenso wie bei der Spaltung von Bruchsäler Öl mit Kontakt
6208 (u.a.o.) noch ungespaltene Anteile des Ausgangsöles.

Die Anilinpunktcurven weisen tiefe Minima bei etwa 160° , der
Wiederaufstieg des Anilinpunkts ist oberhalb von 250° langsamer als
im Ausgangsprodukt, sodass die Kurven sich wesentlich von denen mit
K 6108 und P 1203-Mittelöl unterscheiden.

Vor Verlust ($C_1 - C_4 + \text{Koks}$) ist auf Bensin - 160° + Verlust be-
zogen noch höher als bei Steinkohle.

Beim Kracken des Erdölmittelöles war die C_6 -Fraktion im der Ver-
gaung etwas grünlicher als beim Kracken des Steinkohlenmittelöles
(7 gegen 3 %), die Ungesättigten waren weniger selektiv auf die unter-
sten Kohlenwasserstoff-Fraktionen verteilt.

gez. Reitz.

Gemeinsam mit:

Dr. Donath,
" Hönnemannsdör,
" Fürst, Möller, Dahn,

Tabelle 2: Vergasung.

	K 6108, Steink. Vorhy, Mittelöl					K 6752 St. K. Vorhy, M' Öl			K 6752 Erdöl
Datum 1941	5.-8.11. (Mittel)	8.-21.11. (Mittel)	10.11. 10-50	12.11. 13.08.-20	22.11. 22.40.-23	28.11.-7.12. Mittel)	30.11. 10.40.-11	28.12. 27.12.-1.1.1	
Zyklus Nr.	1 - 6	7-53	12	19	59	1-40	9	43	
" Dauer : Min.	15	20	-	-	-	20	20	60	
Temperatur mV	24	-	-	-	-	21-21,5	21	20,5	
Durchsatz kg/Ltr.u.Std.	0,5	-	-	-	-	-	-	-	
<u>Anfall (Gewichts-%)</u>									
Benzin <150°	24	(25)		(23)	26,7	34,2	37,8	18,5	
Mittelöl >150°	64	62,4		64	60,7	49,3	45,8	68,0	
(150 - 180°)	(10)	(10,5)		(8,4)	(8,3)	(11,3)	(11,7)	(16,1)	
Gas C ₁ - C ₄	7,5	(7,6)		8,0	7,7	11,6	12,3	9,8	
Koks	5	5,03		4,93	4,9	4,9	4,1	3,7	
Rohbilanz %	0,95	0,93	0,995	0,89	0,96	0,91	0,81	94,3	
<u>Vergasung, Produktgas Ltr/kg Produkt</u>	65	67	58	56	71	63	71	41,5	
Vol.-%: H ₂	22,3	31,6	34,2	26,4	24,3	35,2	10,4	13,3	25,5
Gesättigte KW-Stoffe (Mittleres C)	61,81 2,61	53,21 2,65	47,0 (2,6-2,7)	41,4 (2,7-2,8)	42,5 2,9	46,1 2,91	74,8 3,2	65,6 3,2	54,0 (2,7-2,8)
C ₂ H ₄	-	-	20,5	18,4	8,4	-	-	-	
C ₂ H ₆	-	-	-	-	3,7	-	-	-	
C ₃ H ₈	-	-	7,1	7,3	14,5	-	-	-	
C ₄ H ₁₀	-	-	19,4	15,7	15,9	-	-	-	
Olefine (Mittleres C)	15,0	14,3	12,4	11,7	13,35	17,4	12,7	13,6	11,45
C ₂ H ₄	-	-	2,9	2,8	3,0	-	-	2,8	2,8
C ₃ H ₆	-	-	4,9	4,95	3,0	-	-	3,1	5,0
C ₄ H ₈	-	-	4,0	4,35	6,75	-	-	9,6	4,7
Gasbenzin	-	-	3,5	2,4	3,6	-	-	0,93	1,75
Gelöstes Gas	-	9,22)	5,2	5,6	6,75	8,5	7,9	9,3	4,65
g C ₃ H ₆ /kg Produkt	-	-	-	1,5	-	-	-	-	
C ₃ H ₆	-	-	-	4,35	-	-	-	-	
C ₄ H ₈	-	-	30,1	-	-	-	-	-	
C ₄ H ₁₀	-	-	-	22,65	-	-	-	(70)	64,5

C ₄ H ₁₀	-	7,1	7,5	14,5	23,2	16,1		
Olefins (Mittlores 0)	15,0	19,4	15,7	15,9	29,9	17,3		
C ₂ H ₄	-	14,3	12,4	11,7	13,35	13,6	11,45	
C ₂ H ₆	-	-	2,9	2,8	3,0	2,8	2,8	
C ₄ H ₈	-	-	4,9	4,95	3,0	-	3,1	5,0
Gasbenzin	-	-	4,0	4,35	6,75	-	9,6	4,7
Gelöstes Gas	-	9,2 ²⁾	3,5	2,4	3,6	-	0,95	1,75
8 C ₃ H ₆ /K ₈ Produkt	-	5,2	5,8	6,75	8,5	7,9	9,3	4,65
C ₃ H ₈	-	-	-	1,05	-	-	-	-
C ₄ H ₈	-	30,1 ²⁾	-	4,35	-	-	-	-
C ₄ H ₁₀	-	-	-	4,7	31,6	65,4	(-70)	64,6
Gew% der Vergasung								
H ₂	-	-	-	1,3	2,4	-	0,5	0,8
C ₂ H ₄	-	-	-	3,5	-	-	4,3	7,2
C ₂ H ₆	-	-	-	2,9	-	-	-	-
C ₂ H ₄	-	-	-	2,2	24,0 %	-	1,5	2,2
C ₃ H ₈	-	-	-	21,0	Olefine	-	17,6	11,0
C ₃ H ₆	-	-	-	9,1	74,6 %	-	7,2	3,1
C ₄ H ₁₀ (\neq iso)	-	-	-	49,3460	Paraffine	-	66,7 (-70)	71,9
C ₄ H ₈	-	-	-	10,6	-	-	2,2	3,8
Vergas.+Koks/V+K+Bi -150	-	34,3	33,5	36,0	32,1	32,6	30,3	42,2
" " Bi -180	-	26,9	26,2	24,1	26,5	26,6	24,9	28,1
C ₁ -C ₂ +Koks/V+K+Bi -150	-	-	-	15,9	-	-	9,1	14,7

- 1) einschliesslich Gasbenzin
 2) Mittel aus wenigen Versuchen
 3) O₂-Verbrauch nach Gaswaage, wahrscheinlich zu hoch.

000314

00314

000315

000315

Tabelle 3:

Kontakt	P 1494-B-Mittelöl von Kammer 501					6109
Einspritzung	21.11. 14 ⁴⁵ -15 ⁴⁵	- 2055-21 ¹⁵	- 3 ⁰⁰ -4 ⁰⁰	21.11. 10 ⁴⁰ -11 ⁰⁰	- 16 ³⁰ -17 ³⁰	- 22 ⁴⁰ -23 ²⁰
Datum 1941	21.11.	-	-	21.11.	-	-
Zyklus	34	55	56	57	58	59
Temperatur mV	24	25	-	23	-	24
Durchsatz kg/Ltr., Std.	0,465	0,495	0,55	0,575	0,645	0,47
Zyklusdauer Min.	60	20	60	20	60	20
Anfall; Bensin - 150	22,1	28,8	23,1	28,4	29,9	26,7
Bensin 150-180°	7,9	6,7	8,2	9,3	9,4	8,3
Mittelöl > 180°	62,0	52,6	63,3	52,1	56,7	52,4
Gas O ₁ - O ₄	5,7	7,4	4,0	(6,55)	(2,8)	7,7
Koks	2,3	4,5	1,4	3,65	1,5	4,9
Rohbilanz %	96,8	92,8	95,0	89,3	97,3	95,9
<u>Bensin - 150°</u>						
Leistung	0,10	0,13	0,115	0,15	0,19	0,12
Konzentration	24,0	32,7	24,4	31,6	31,3	30,6
V + Koks / V + K + Bi	26,6	29,2	19,0	(26)	(13)	32,0
Koks / Bi + Koks	9,5	13,5	5,7	11,4	4,8	15,5
<u>Bensin - 180°</u>						
Leistung	0,135	0,16	0,16	0,19	0,25	0,16
Konzentration	32,6	40,3	33,1	42,0	41,1	40,1
V + Koks / V + K + Bi	21,0	25,1	14,7	(21)	(10)	26,5
Produkt-Gas; Lit/kg Einspr.	58	59	55	49	33	62
% H ₂	17,9	21,5	38,3	35,6	50,0	35,2
% Olefine	13,7	16,0	14,3	10,8	11,5	17,4
% gesättigte KW.	51,1	61,5	47,1	52,0	38,1	46,1
Mittleres C " "	2,7	2,5	2,6	3,1	2,8	2,9

000315

000315

000315

000315

Tabelle 3: Versuche unter Variation der Bedingungen.

6108

r 501										P 1203	V 180-330°	P 1494 B-Mitt
1.11. 40-11.00	-	16 ³⁰ -17 ³⁰	- 22 ⁴⁰ -23 ⁰⁰	23 ⁰⁰ - 23 ⁵⁰	23.11. 8 ³⁰ -9 ³⁰	15 ³⁰ - 15 ⁵⁰	21 ⁴⁵ - 22 ⁴⁵	24.11. 8 ²⁵ -8 ⁴⁵	- 19 ⁵⁰ -20 ¹⁰	- 11 ¹⁵ -12 ¹⁵	28.11. 15 ⁴⁰ -16 ⁰⁰	- 23 ⁴⁰
57	58	59	60	61	62	63	64	66	67	2	3	
23	-	24	-	-	25	-	23	-	-	21,5	21	
575	0,645	0,47	0,835	0,92	0,955	0,96	0,94	0,49	0,98	0,625	0,	
20	60	20	20	60	20	60	20	20	60	20	20	
28,4	29,9	26,7	25,3	29,3	19,8	18,2	22,2	27,5	18,6	43,8	31,	
9,3	9,4	8,3	7,6	10,5	6,5	5,7	8,1	12,1	11,9	10,8	10,	
52,1	56,7	52,4	58,7	53,6	64,1	69,8	65,3	45,85	64,3	26,2	40,	
6,55)	(2,8)	7,7	6,4	5,5	5,6	4,3	2,7	8,95	3,3	11,2	13,	
3,62	1,5	4,9	2,0	1,1	(4)	(2)	(2)	(5,6)	(1,9)	8,0	5,	
9,3	97,3	95,9	89,5	97,5	(95,3)	(94,7)	(96,5)	(90,5)	(96,1)	81,7	9,	
0,15	0,19	0,12	0,19	0,26	0,18	0,16	0,20	0,12	0,175	0,22	0,	
		30,6	27,6	31,4	22,0	19,4	23,3	32,2	19,6	54,3	39,	
		32,0	25,0	18,4	(33)	(26)	(17,5)	34,6	21,8	30,5	37,	
		15,5	7,3	3,6	-	-	-	-	-	15,4	14,	
0,19	0,25	0,16	0,245	0,36	0,24	0,21	0,27	0,175	0,29	0,28	0,	
2,0	41,1	40,1	35,9	42,6	29,1	25,5	31,8	46,3	32,2	67,5	50,	
21)	(10)	26,5	20,3	14,3	(27)	(20)	(13,5)	26,9	14,6	26,0	31,	
49	33	62	40	35	35	37	25	58	29	40	44	
35,6	50,0	35,2	36,2	40,3	35,9	35,0	44,7	18,9	21,9	9,6	2,	
10,8	11,5	17,4	14,7	12,8	13,5	12,5	12,8	23,2	22,8	8,0	12,	
52,0	38,1	46,1	47,6	45,6	50,2	51,7	42,1	55,0	55,0	77,5	79,	
3,1	2,8	2,9	2,9	2,8	2,7	2,7	2,8	2,7	2,7	3,3	3,	

000315

000315

000315

000315

6752

P 1203 v. 180-330°			P 1494 B-Mittel 81			P 1490 v. 170 - 350°		
24.11. 25.-045	- 1950-2010	- 115-215	28.11. 1540-1600	- 2340-2400	8.12. 2210-2230	- 330-430	9.12. 1430-1450	- 2015-2035330-430
6	67	2	3	42	43	44	45	46
-	-	21,5	21	20,5	-	21	-	-
49	0,98	0,625	0,505	0,485	0,505	0,525	0,905	0,49
20	20	60	20	20	60	20	20	60
22,2	27,5	18,6	43,8	31,1	(23,2)	18,5	28,4	26,2 (26)
8,1	12,1	11,9	10,8	10,0	13,5	16,1	14,0	13,1 (-9)
65,3	45,85	64,3	26,2	40,3	44,4	51,9	39,9	48,6 (53)
2,7	8,95	3,3	11,2	13,2	(12)	9,8	11,5	8,9 (8,5)
(2)	(3,6)	(1,9)	8,0	5,4	4,0	,7	6,2	3,2 3,5
(96,5)	(90,5)	(96,1)	81,7	9,3	86,7	94,3	82	96 -
0,20	0,12	0,175	0,22	0,145	0,105	0,09	0,12	0,23 (0,12)
23,3	32,2	19,6	54,3	39,2 (30)	21,4	34,5	29,8	(30)
(17,5)	34,6	21,8	30,5	37,4 (40)	42,2	38,4	31,6	(31,5)
-	-	-	15,4	14,8	16,3	16,7	17,9	10,9 11,9
0,27	0,175	0,29	0,28	0,19	0,16	0,165	0,18	0,34 (0,165)
31,8	46,3	32,2	67,5	50,5 (46,5)	40,0	51,5	44,7	(40)
(13,5)	26,9	14,6	26,0	31,2 (30,5)	28,1	29,4	23,5	(25,5)
25	58	29	40	44	39	36	50	25 -
9	21,9	9,6	2,8	8,4	24,7	3,1	7,2	-
2	22,8	8,0	12,6	14,2	12,2	13,0	15,2	-
0	55,0	77,5	79,6	67,6	56,9	58,5	67,6	-
7	2,7	3,3	3,0	2,7	2,9	2,8	3,2	-

000315

000315

WUWUWU

000316

Kontakt 6108/P 1494 - B-Mittel

Datum 1941	21.11.	-	-	22.11.	-	-
Syklus	54	55	56	57	58	59
Temperatur mV	24	25	-	23	-	24
Durchsatz kg/Ltr..Std.	0,5	-	-	-	-	-
Zyklusdauer Min.	6,0	20	60	20	60	20

Gesamtprodukt

Spez.Gewicht/20°	0,838	0,827	0,835	0,820	0,822	0,
Anilinpunkt I	+ 28,5	+ 19,5	+ 26,5	+ 26,5	+ 26,5	+ 26,5
" II	+ 55,5	+ 51,5	+ 55,5	+ 56	+ 55	+ 55
Jodzahl (Hanus 38)	25,3	23,7	33,4	29,5	24,6	24,6
Siedebeginn °C	37	37	38	34	43	43
% - 70	3	7	3	3	4	4
100	8	15,5	9	7	11,5	11,5
150	21	31,5	22	15,5	28	28
180	29	42,5	30	32	38,5	38,5
200	39,5	54	41	53,5	48,5	48,5
250	74,5	80	74	82,5	80	80
300	91	93,5	90	93	92,5	92,5
Endpunkt °C	329	330	327	317	330	330
Destill.-Verlust %	3	1,5	4,5	1,5	3	3

Anilinpunkt Fraktionen

50 - 60	+45	+46	+43,5	+49	+47,5	+42
60 - 100	+40	+38	+31,5	+46,5	+44,5	+44
110 - 140	+31,5	+23	+24,5	+33,5	+35	+33
150 - 180	+25,5	+3,5 ¹⁾	+21,5	+23,5	+31,5	+26
180 - 210	+28	+17	+23,5	+23,5	+33,5	+26
210 - 230	+31	+20	+28,5	+25,5	+36	+26
240 - 270	+33,5	+21	+30,5	+24,5	+38	+26
280 - 310/ 310	+32	+11,5	+29,5	+19,5	+36,5	+23

Benzin - 150° Gew.%

Spez.Gewicht 20°	0,732	0,730	0,726	0,742	0,730	0,7
Anilinpunkt I	+35	+33,5	+34,5	+37	+40,5	+33
" II	+50	+52	+53,5	+54	+54,5	+55
Jodzahl (Hanus 38)	49,7	33	54,1	16,4	33,4	22
Siedebeginn °C	37	30	33	43	31	33
% - 50	3,5	8	7,5	-	6	2
- 70	17	23,5	21	12	20	22
- 100	54	60	57	54	56	55
- 120	78,5	81	76	79	80	77
- 140	92,5	92	85,5	93,5	92,5	92
- 150	97	95	89	-	94,5	94
Endpunkt °C	153	154	153	157	155	155
Destill.-Verlust %	1	3	7,5	1	2,5	2,5

Zusammensetzung

000316	Gew.% Paraffine	27	30	34	36	38
Naphthene	52	44	41	40	39	39
Aromaten	17,5	21	22	20	16,5	20

Ungesättigte

Oktansahl Research-Methode	3,5	5	3	4	6	6
Motor-Methode	86,0	-	87,5	83,0	83,0	83
Motor-Methode +	74,5	76,6	77,1	77,4	75,4	77
0,12 % Pb.	89,6	91,0	90,1	91,7	90,5	91

Schwerbenzin 150-180°

Gew.% v.fl.Anfall	8,6	7,6	8,7	10,3	10,0	9
Spec.Gewicht/20°	0,825	0,832	0,827	0,826	0,835	0,8

000316

000316

Tabelle 4: Produktuntersuchungen zu Tabelle 3.

Mittelw							K 6108/F1203 Mittelw	K 6752
-	-	23.11.	-	-	24.11.	24.11.	-	28.11.
59	60	61	62	63	64	66	67	2
24	-	-	25	-	23	24	-	21,5
-	1,0	-	-	-	-	0,5	1,0	0,5
20	20	60	20	60	20	20	60	20
92	0,826	0,825	0,822	0,836	0,847	0,837	0,773	0,778
5	+26	+29,5	+30,5	+30,8	+30	+34,5	+48,8	+58
6	+55,5	+56,5	+56	+56,8	+55,5	+57	+73	+58
6	30,4	28,3	28,0	33,7	33,1	20,5	13,1	20,1
4	33	39	36	36	36	40	29	26
4	5,5	7	4,5	2	3	9	2	16
5	11	12	17	10	7	7,5	16,5	29,5
5	27	27	33	22	17,5	19	30	54,5
5	38	36	44,5	31	28	28	44,5	67
5	48	49	54,5	41	37	39,5	55	77
5	79	78,5	80,5	73,5	73,5	77	76,5	68
5	92	92,5	94	89,5	98	93	92	-
5	320	325	330	336	333	318	318	291
5	2,5	2,5	2,5	4,5	1	3	2,5	3,5
5	+47,5	-	+45,5	+45,5	+42	+48	-	+49,5
5	+44	+44,5	+42,5	42	+35,5	+42	+48,5	+43,5
5	+32	+34,5	+33	29,5	+27	+37,5	+42	+25,5
5	+22	+26,5	+28,5	19,5	+24	+33,5	+41	+7,5
5	+22,5	+27	+31,5	21,8	+28	+34	+45,5	+8,5
5	+25	+29	+35	25,5	+31,8	+36	+50,5	+13,0
5	+24,5	+31	+37,5	28,5	+35	+37,5	+59,8	+7,5
5	+18	+27	+38	25,8/16,2	+36,5	+37	+64,2	+71
5	31,1	28,8	32	21,6	19,0	23,3	32,9	18,5
5	0,730	0,719	0,727	0,724	0,736	0,725	0,698	0,715
5	+37,5	+40	+38,5	+30,2	+32	+42	+44,8	+40
5	+54,5	+53,5	+53	+54,5	+53	+54	+64,2	+56
4	28,9	34,5	50,7	141,3	52,2	25,4	54,1	41,7
5	35	23	35	31	36	30	25	23
6	10	5	7,5	5	7,5	17	5	13
6	20	24	21,5	23	18,5	23	32	28
5	56,5	59	66	59	55	60	55	56,5
5	79	81	85	81,5	80	83,5	71	76
5	92	92,5	93	91,5	93,5	94	88	88
5	-	94	95	94	97	96,5	92	-
5	154	158	152	154	150	153	153	154
5	2	3	2,5	4,3	2	1,5	5	3
5	38	36	34	32	32	38	56	42,5
5	39	43,5	43	34	41	43	13,5	36
5	20	16,5	17	27	24	14,5	21	18,5
5	3	4	6	7	3	4,5	9,5	3
0	84,5	86,3	85,7	85,5	87,3	-	84,0	78,0
4	77,4	76,3	75,3	78,0	77,1	76,7	76,3	72,0
5	91,2	91,9	91,4	92,3	89,8	91,0	90,3	88,6

000316

000316

000316

000310

A 6108/A1203 Mittwoch

X 6752/P1494 B-M'81 Kontakt 6752

P 1490 Mittel 81

150 Endpunkt °C	97 153 1	95 154 3	89 153 7,5	- 157 1	94,5 155 2,5
Destill.-Verlust %					
Zusammensetzung.	000310				
Gew.% Paraffine	27	30	34	36	38

Geophtheno	52	44	41	40	39,5
Aromaten	17,5	21	22	20	16,5
Ungesättigte	3,5	5	3	4	6
Oktanzahl Research-Methode	86,0	-	87,5	83,0	83,0
Motor-Methode	74,5	76,6	77,1	77,4	75,4
Motor-Methode + 0,12 % Pb.	89,6	91,0	90,1	91,7	90,5

Schwerbenzin 150-180°

Gew.% v.fl. Anfall	8,6	7,6	8,7	10,3	10,0
Spez.Gewicht/20°	0,825	0,832	0,827	0,826	0,816
Anilinpunkt I	+22,5	+7,5	+16	+19	+30,5
" II	+52	+54	+52,5	+55	+52,5
Jodzahl (Manus 38)	13,1	15,2	22,7	12,8	15,6
Siedebeginn °C	150	144	145	155	148
% - 160	25,5	44	40	17	41,5
170	68	79,5	69	69	82,5
180	92	92	90	89	94
Endpunkt °C	186	189	189	198	183

Zusammensetzung.

Gew.% Paraffine	27	24,5	24,5	35	30,5
Naphthene	39	27	33,5	34,5	42
Aromaten	33	47	38,5	28	25
Ungesättigte	1	1,5	3,5	2,5	2,5
Oktanzahl	-	-	75	-	-
	-	70,8	66,8	65,3	60,1
	-	-	79,0	79,5	79,2

Rückstand > 180°

Gew.% v.fl. Anfall	67,3	59,6	67,3	57,7	58,8
Spez.Gewicht/20°	0,887	0,897	0,887	0,888	0,877
Anilinpunkt	+31	+19	+28,5	+24	+36,5
Jodsahl (Manus 38)	27,5	30,7	27,7	31,8	23,4
Oktanzahl	31,5	29	30	30,5	37
Siedebeginn °C	190	190	190	197	188
% - 200	5	6,5	3	-	8
225	45,5	46	42,5	46	42,5
250	71	73,5	70	73	70
275	86	88	86,5	87	82
300	94,5	95	93	94,5	95
325	96,5	97	96,5	-	-
Endpunkt °C	339	347	337	342	321

1) 140 - 170

2) aus Bromzahl.

000310

000310

95,5	92,5	92	92,5	93	81,5	80	83,5	71	60
-	94,5	-	94	95	91,5	93,5	94	88	7
157	155	154	158	152	154	150	153	92	83,5
1	2,5	2	3	2,5	4,5	2	1,5	5	91
36	38	38	36	34	32	32	38	56	60
40	39,5	39	43,5	43	34	41	43	13,5	59,5
20	16,5	20	16,5	17	27	24	14,5	21	13
4	6	3	4	6	7	3	4,5	9,5	13
83,0	82,0	84,5	86,3	85,7	85,5	87,3	76,7	84,0	78,0
77,4	75,4	77,4	76,3	75,3	78,0	77,1	76,7	76,3	72,0
91,7	90,5	91,2	91,9	91,4	92,3	89,8	91,0	90,3	88,6
10,3	10,0	9,4	8,1	11,0	7,1	6,0	8,5	14,0	12,6
0,826	0,816	0,828	0,824	0,822	0,834	0,826	0,817	0,782	0,775
+19	+30,5	+18,5	+22	+28	+15	+20,2	+30	+39,5	+49,5
+55	+52,5	+54	+53	+53,5	+53,5	+52,5	+53	+68	+68
12,8	15,6	15,9	13,6	17,5	21,3	20,7	14,5	15,9	17,0
155	148	154	150	152	151	149	145	147	150
17	41,5	14	34	23,5	33	32	36,5	52,5	49,5
69	82,5	63	74	71	68,5	77	76	86	83,5
94	87,5	88	91	87	96	92,5	95	94	94
183	197	195	190	197	186	192	187	187	187
30,5	29	28,5	31,5	25,5	26	31	-	60	000316
42	32,5	36	38	30	36	40	60	71,5	
8	25	37,5	33,5	28	40,5	35	26	4,5	5
2,5	2,5	1	2	2,5	4	3	3	31	21
-	-	-	-	-	-	-	-	4,5	2,5
65,3	60,1	65,3	62,7	58,3	73,0	71,5	-	-	43,5
79,5	75,2	-	76,2	75,0	67,4	65,3	68,5	51,5	42,5
-	-	-	-	-	79,6	78,0	77,2	72,5	68,6
57,7	58,8	59,4	62,8	56,2	70,6	74,2	68,3	53,0	68,0
0,888	0,877	0,888	0,886	0,879	0,890	0,887	0,873	0,832	0,818
+24	+36,5	+24	+28,5	+35	+26	+32,2	+34,5	+56	+62,5
31,8	23,4	29,4	30,2	27,4	31,7	23,9	19,5	19,2	18,6
0,5	37	30	31	34,5	31,5	34	35	50,5	52
97	188	196	197	190	192	189	190	199	199
-	0	3	-	5	1,5	6,5	12	-	12
16	42,5	45	42	47,5	38	38	55,5	34	32,5
3	70	72	67	70,5	67,5	66	76,5	60	56,5
87	82	86	83,5	87	83	85	89	79	77
94,5	95	93	91,5	94	92,5	96	96	91	92
2	321	345	325	332	362	329	316	338	327

316

000316

92	83,5	88	90	79	87,5	86	91	72
91	-	93	80,5	-	89,5	95	95	88,5
153	157	154	150	152	149	153	150	93
5	6	3	6	17,5	7	8,5	4	152
56	59,5	42,5	40	61,5	55	50,5	59	58,5
	36	42	20	19,5	23	31	21	19,5
	18,5	15	16,5			15,5	18	20
	3,0	3	2	2,5	3	2	2	2
8,0	87,5	88,2	84,5	83	85,7	84,3	84,5	84,5
12,0	79,5	78,5	80,7	78	80,1	78,5	77,5	77,5
90,5	88,6	-	96,1	99	96	98,3	96	93,7

							000316	
14,0	12,6	12,8	12,5	15,1	17,5	15,9	14,4	9,8
782	0,773	0,834	0,828	0,802	0,797	0,805	0,798	0,800
39,5	+49,5	+0,5	+7	+23	+31,5	+21,5	+27,5	+26
38	+68	+57,5	+56,5	+68,5	+60	?	+67	+69
15,9	17,0	13,1	10,0	2,1 ²⁾	1,3 ²⁾	1,0 ²⁾	2,5 ²⁾	2,4 ²⁾
47	150	152	148	148	153	150	150	150
52,5	49,5	49	53,5	53	29	32,5	64	54,5
86	83,5	80	78	86	83	75,5	90	89,5
93	94	93,5	92	97,5	95,5	94,5	97,5	97,5
187	187	191	192	187	104	188	185	186

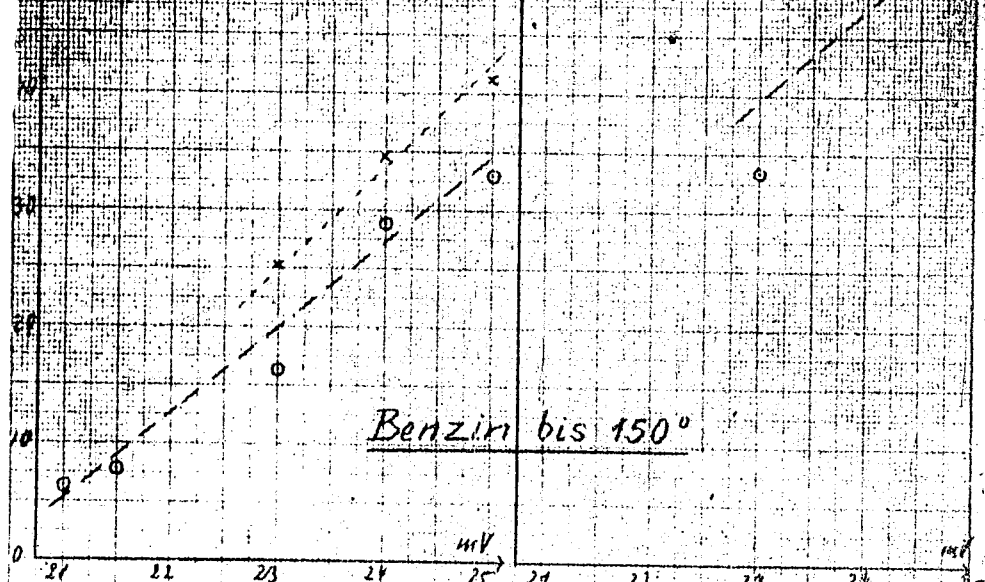
		000316						
60	71,5	25	27	51,5	57	~50	54,5	53
4,5	5	18	22	3	4	~2,5	4	2
31	21	55	49	45	38,5	~47	41	44,5
4,5	2,5	2	2	0,5	0,5	0,5	0,5	0,5
-	43,5	-	-	-	64	-	65	-
51,5	42,5	73,6	70	62	56	61,4	59,6	59,8
72,5	68,6	-	-	77,4	73,3	76,3	73,8	73

,0	31,2	46,2	49,5	56,6	45,4	53,6	58,7	
,818	0,888	0,895	0,842	0,838	0,856	0,843	0,842	
,5	+8,5	+15	+45	+51	+45	+51	+49	
,6	32,1	20,5	0,3 ²⁾	2,2 ²⁾	4,1 ²⁾	2,2 ²⁾	2,2 ²⁾	
	26	44	45,5	44,5	45,5	45,5	44,5	
	192	184	182	176	185	190	183	
4	32,5	23,5	20,5	4	3	3,5	8,5	
0	54	57	43,5	39	33	31,5	41,6	
9	76	77,5	67	63,5	62	59	63,5	
1	87,5	88	82	79,5	81	75,5	77	
6,5	92	93	94	93,5	90,5	90	82,5	88
8	96	95	96	97,5	95,5	95	94	93,5
	327	359	340	335	340	350	350	330

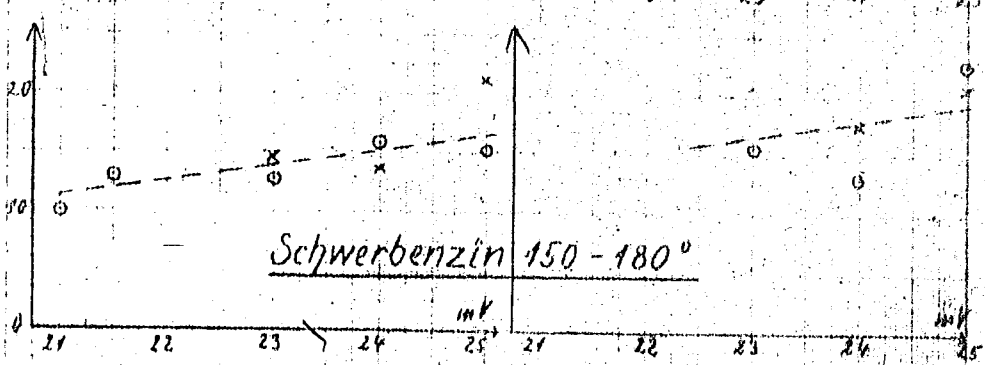
000316
000316

000316

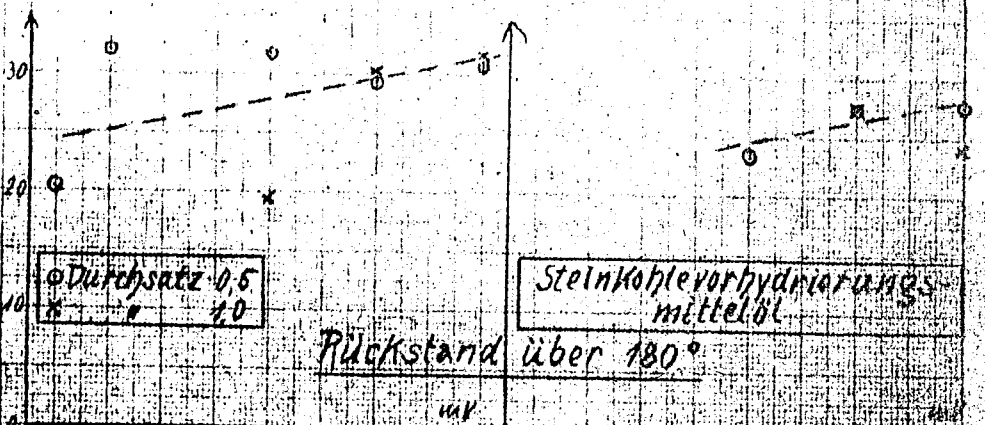
000317



Benzin bis 150°



Schwerbenzin 150 - 180°

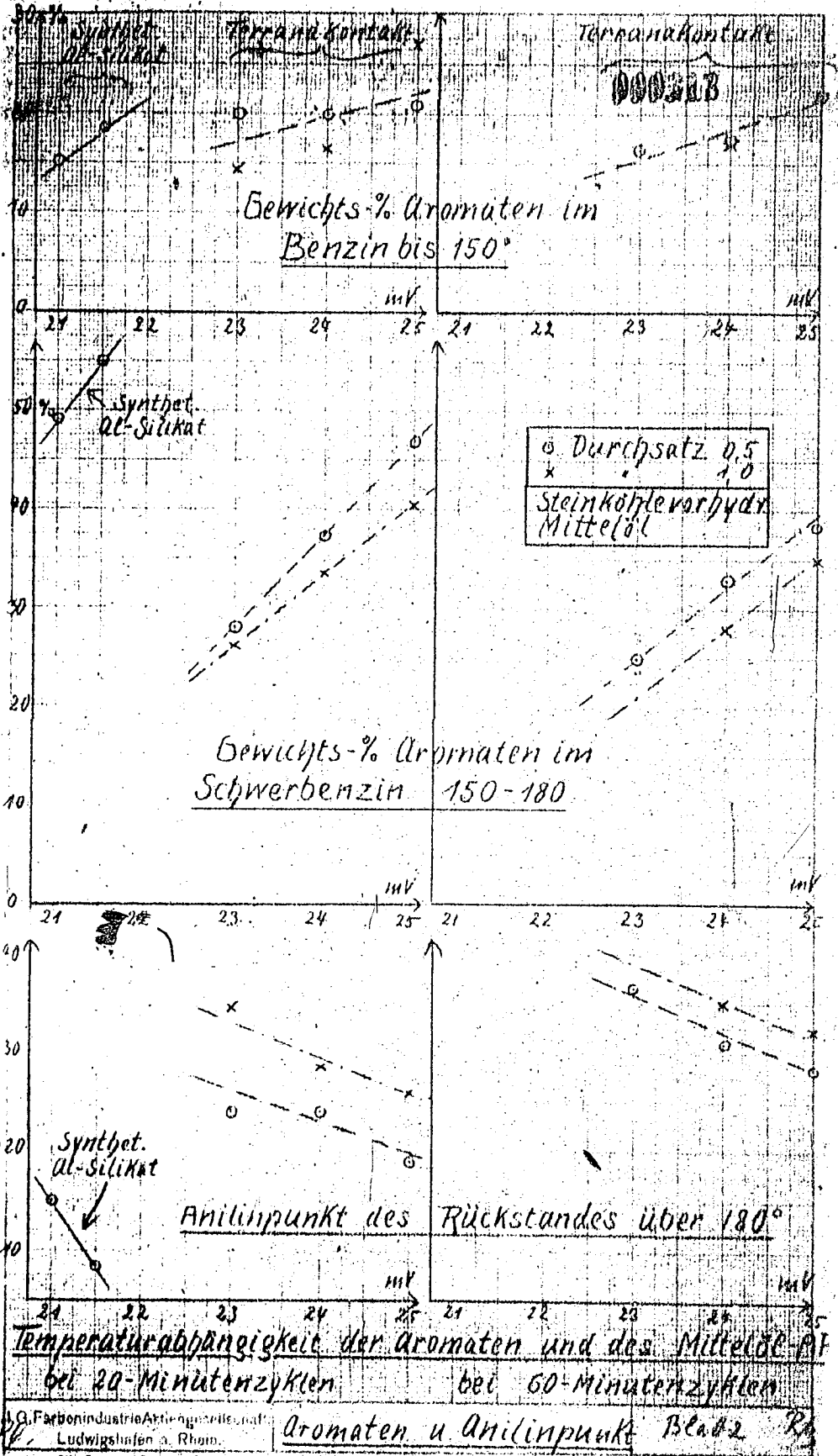


Durchsatz 0,5
10 20

Steinkohlevorhydrierung
mittelöl

Punktstand über 180°

Temperaturabhängigkeit der Tropzdampf
DR 30 Minuten 100° DR 60 Minuten 100°



Motorcycle

卷之三

Motormethode + D12P₃

Schwerbenzinhe 950-180°

Motormethoden

Durchsatz 0,5

Winkelformen

卷之三

Digitized by srujanika@gmail.com

Fig. 1
Endpunktstrukturen von
G108-Krachbenzin + -mittelölen

Fig. 1
20-Minutenzyklen
Durchsatz 95

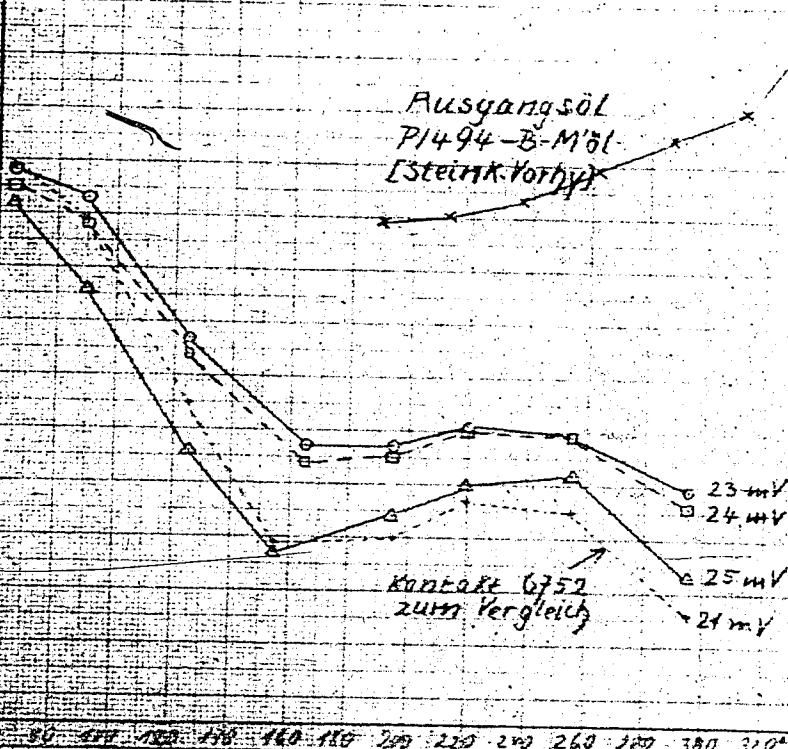
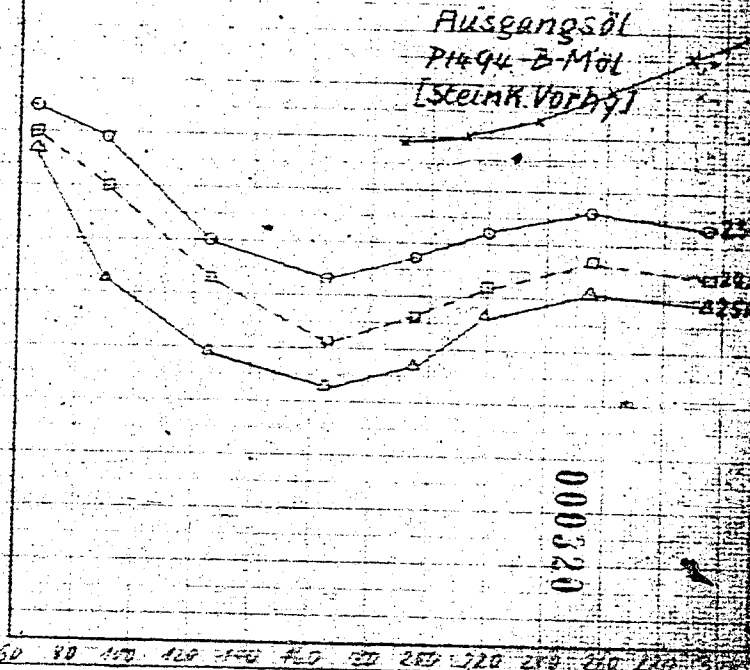


Fig. 2
60-Minutenzyklen
Durchsatz 95

Ausgangsöl
P1494-B-Möl
[Steinkohle]

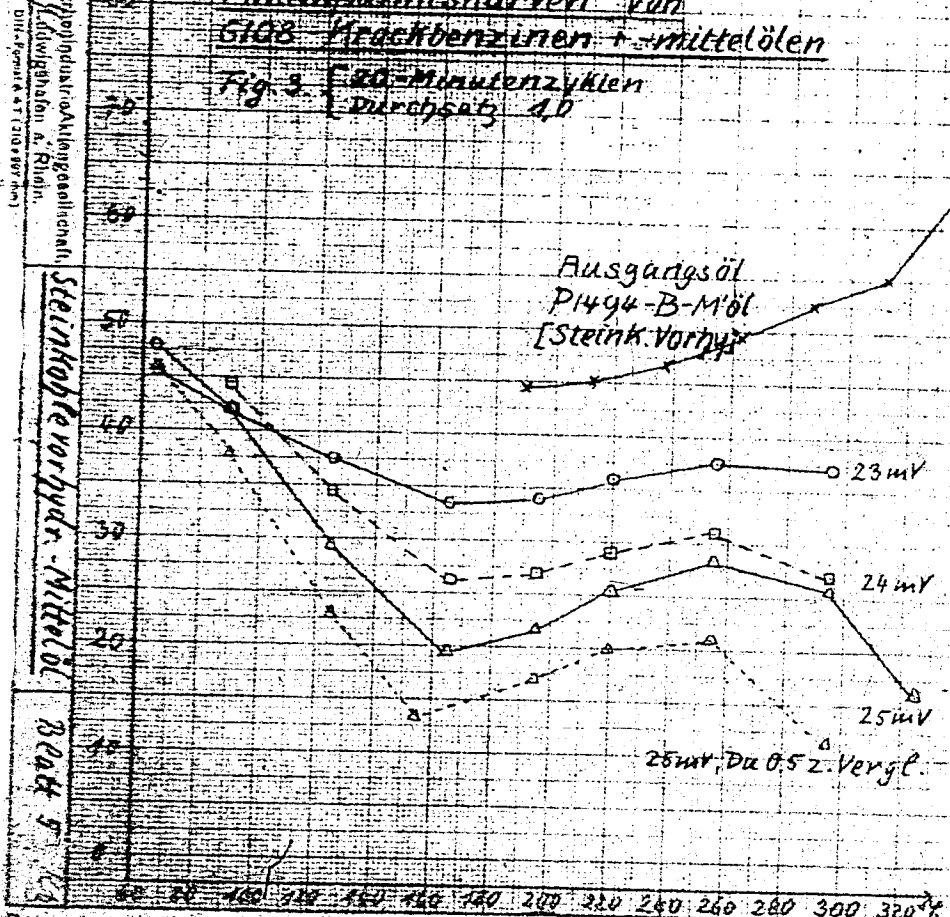
000320



Haller

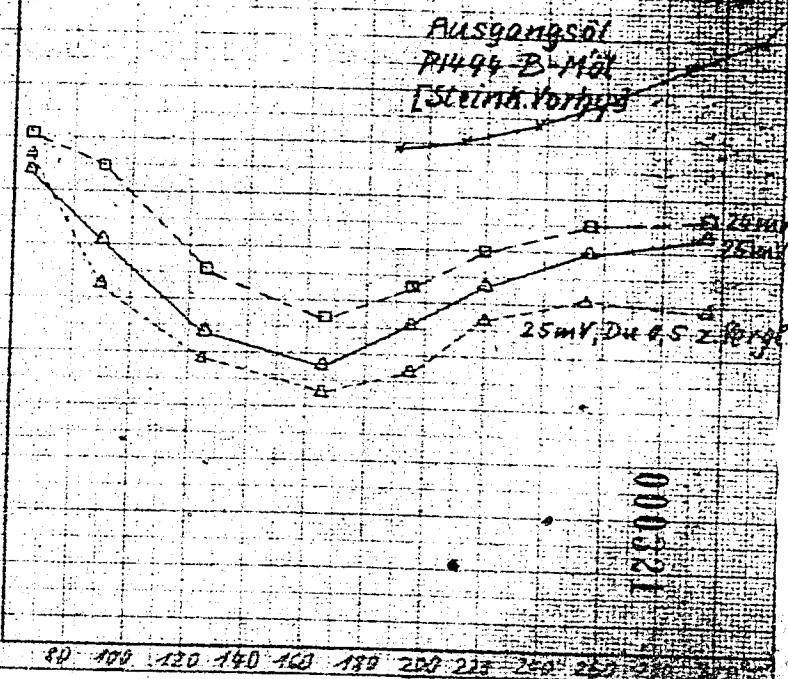
Anilinreaktionskurven von
S108 Kraftbenzinien + -mittelölen

Fig. 3 60-Minutenzyklen
Durchsatz 1,0



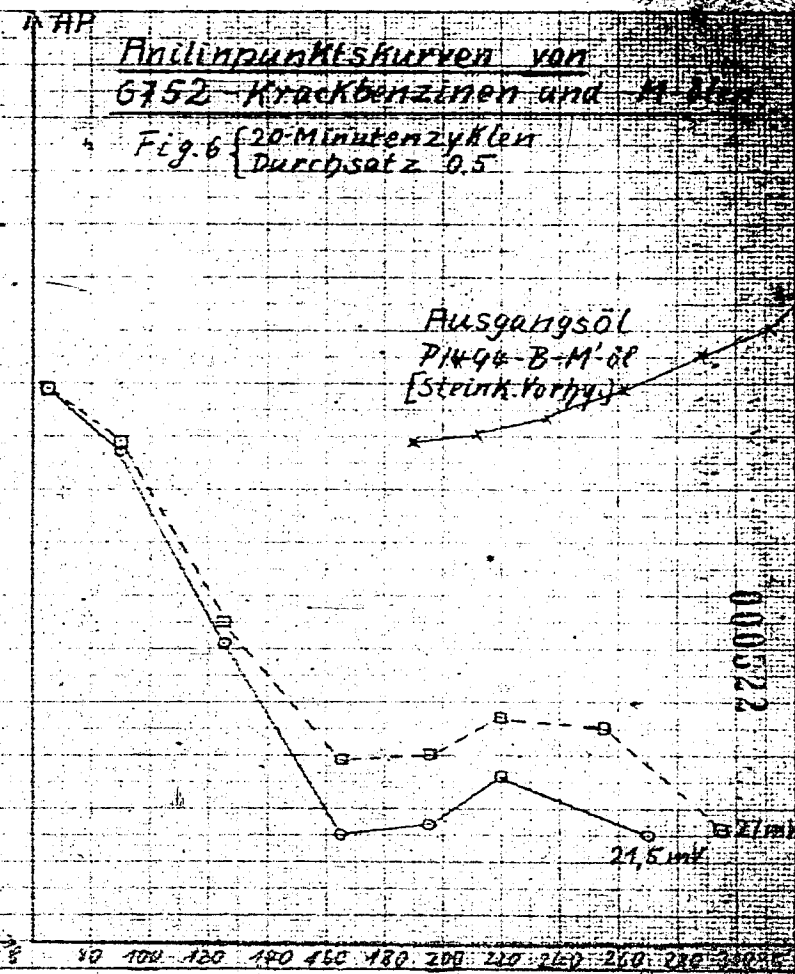
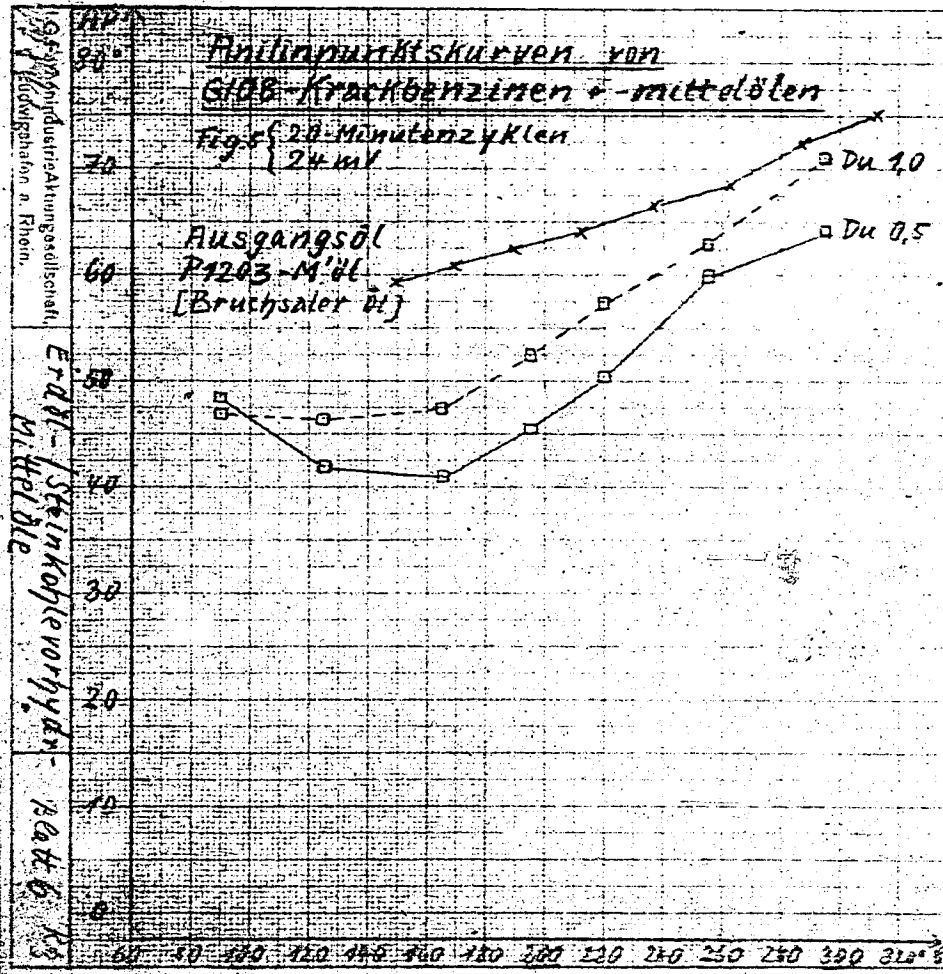
↑AP

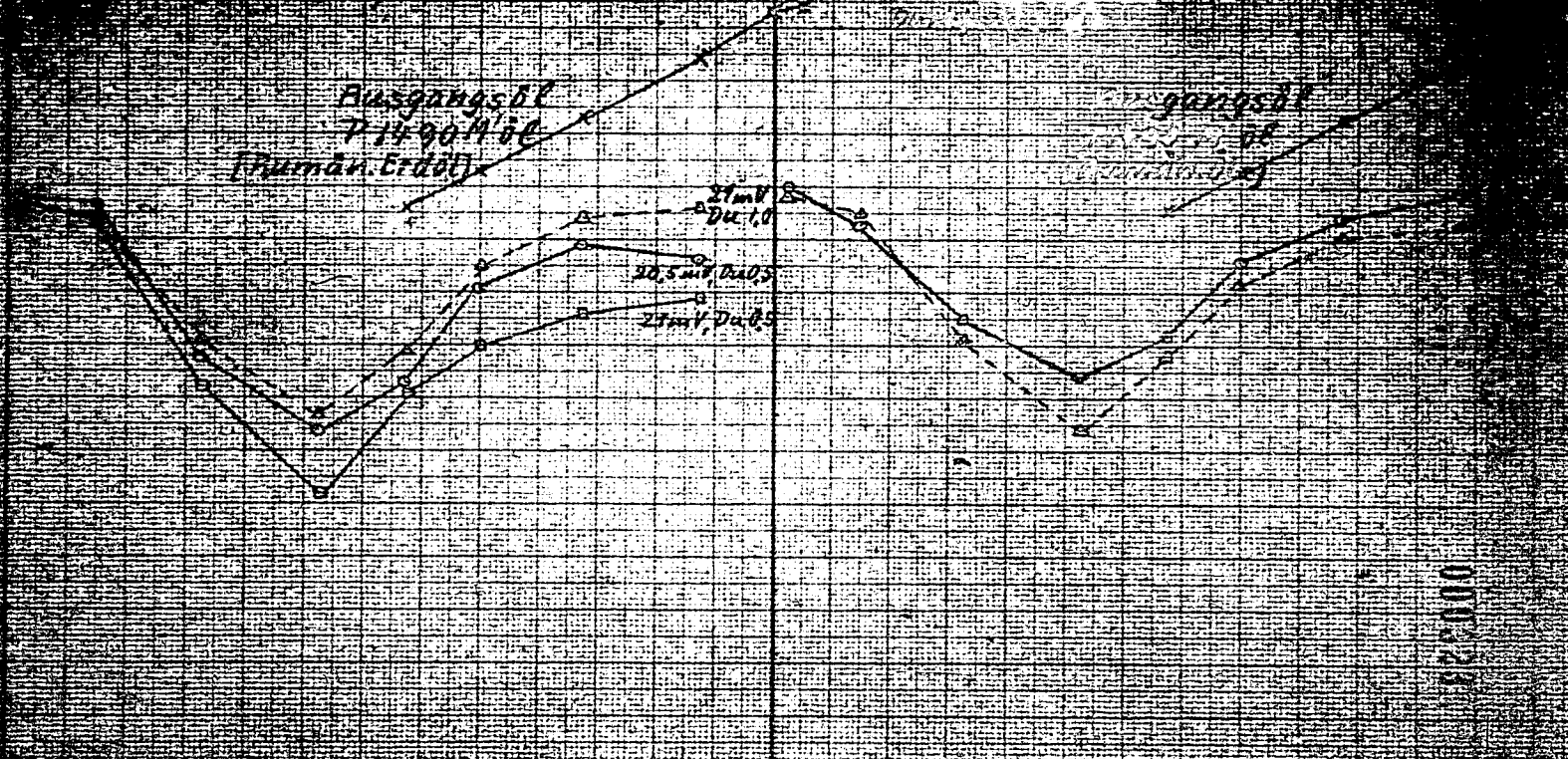
Fig. 4
60-Minutenzyklen
Durchsatz 1,0



00032

B. macroura





Mittelobjekt 2002

Mittelobjekt 2001

2001 2002

Wasser 1000 ml

Terrakottahinterkante

Terrakottakontur

20

30

26

24

25 m

20

30

20

30

Einführung des Gesamtunfalles nach Gleichsprung

Wagen auf

Benzin - 150°

Benzin - 180°

Benzin - 150°

Benzin - 180°

Wasser 1000 ml

Terrakottahinterkante

Terrakottakontur

20

30

22

23

24

25 m

20

30

20

30

Verlust Vergasung + Kohle / Benzinkontakt

Verlust in Abhängigkeit vom der Benzinkontakt

Sparatz 1000 ml Benzinkontakt

Staub 1000 ml Benzinkontakt

T_1 T_2 T_3 T_4 T_5 T_6 T_7 T_8 T_9 T_{10}

Benzin

Wasserstoff

Diesel

Cetane (Paraffin)

